

Б.18

*Сибирь*

ИНСТИТУТ ЯДЕРНОЙ ФИЗИКИ СИБИРСКОГО ОТДЕЛЕНИЯ АН СССР

препринт

В.Н.Байер, В.С.Фадин, В.А.Хозе

**Упругие и неупругие формфакторы в  
сечениях электромагнитных процессов**

НОВОСИБИРСК 1965

2. Выполнено исследование сечений анигиляции в одноФотонном приближении для различных типов частиц и пар. Рассмотрены различные типы сечений.

### А н н о т а ц и я

В однофотонном приближении выведены общие формулы для сечений упругого рассеяния и двух- и трёхчастичной анигиляции пары произвольных частиц. Рассмотрены процессы рождения пары частиц при взаимодействии фотона с заряженной частицей и при неупругой электромагнитной анигиляции пары.

При выполнении работы были получены следующие результаты:

1) Показано, что для сечения анигиляции пары произвольных частиц в одноФотонном приближении можно использовать формулу Фокусова-Франка, если в выражении для сечения упругого рассеяния, кроме кратного члена, включить член, пропорциональный  $\frac{1}{E}$ , где  $E$  - энергия фотона. Для этого необходимо ввести в выражение для сечения анигиляции пары произвольных частиц член, пропорциональный  $\frac{1}{E^2}$ .

2) Для сечения анигиляции пары произвольных частиц в одноЦентровом приближении получены формулы для сечений анигиляции пары в различных типах.

Elastic and inelastic Formfactors in Cross-section  
of electromagnetic processes

V.Baier, V.Fadin, V.Khose

General Formula's for cross-section of elastic scattering, two- and threeparticle annihilation is developed in one-photon approximation. The processes of pair creation in interaction of photon and charged particle and in inelastic annihilation of pair is also considered.

I. Рассмотрим в низшем порядке теории возмущений (однофотонное приближение) электромагнитное взаимодействие двух произвольных различных частиц (рис. I). Электромагнитная вершина

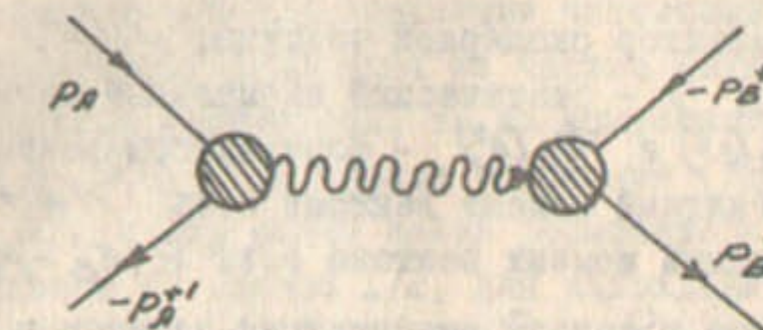


Рис. I.

(ток перехода)  $\mathcal{J}_A''(p_A, p_A'', s_A)$  может быть выражена через некоторое (зависящее от спина  $s_A$ ) число формфакторов. Вычисление сечений с использованием токов перехода является довольно громоздкой операцией. Однако при вычислении сечения процесса для неполяризованных частиц необходимо знать только  $\sum_s \mathcal{J}'' \mathcal{J}^{v*}$ . Легко показать, что из соображений релятивистской, СР- и калибровочной инвариантности (для определенности рассматривается аннигиляционный канал):

$$\langle \mathcal{J}_A'' \mathcal{J}_A^{v*} \rangle_{s_A} \equiv \sum_{s_A} \mathcal{J}_A'' \mathcal{J}_A^{v*} = \frac{e^2}{2N_A} \left[ \mathcal{D}_{1A} (\Delta'' V - \Delta^2 g'') - \mathcal{D}_{2A} \mathcal{P}_A'' \mathcal{P}_A^V \right] \quad (I.1)$$

здесь  $\Delta = p_A + p_A''$ ,  $\mathcal{P}_A = p_A - p_A''$ ,  $N_A = m_A$  для фермионов и  $= 1/2$  для бозонов,  $\mathcal{D}_1(\Delta)$  и  $\mathcal{D}_2(\Delta)$  – некоторые функции формфакторов<sup>X/</sup>. Отсюда ясно, что независимо от спина частиц, сечение процесса будет зависеть только от двух функций формфакторов каждой из частиц. Для скалярных ( $S$ ), векторных ( $V$ ) частиц и фермионов со спином  $I/2$  ( $F$ ) указанные функции имеют вид [2]:

$$\mathcal{D}_1^S = 0 ; \mathcal{D}_2^S = -\frac{|F|^2}{2} \quad (I.2)$$

$$\mathcal{D}_1^F = |\mathcal{F}_1 + g \mathcal{F}_2|^2 ; \mathcal{D}_2^F = |\mathcal{F}_1|^2 - \frac{\Delta^2 g^2}{4m^2} |\mathcal{F}_2|^2 \quad (I.3)$$

X/ Эта формула была давно получена из теоретико-групповых соображений [1].

$$\mathcal{D}_1^V = -\frac{\rho^2}{4m^2} |\mathcal{G}_1 + \mu_B \mathcal{G}_2 + \epsilon_B \mathcal{G}_3|^2$$

$$\mathcal{D}_2^V = \frac{\Delta^2}{4m^2} |\mathcal{G}_1 + \mu_B \mathcal{G}_2 + \epsilon_B \mathcal{G}_3|^2 - \left| \mathcal{G}_1 + \frac{\Delta^2 \epsilon_B}{2m^2} \mathcal{G}_3 \right|^2 - \frac{1}{2} \left| \mathcal{G}_1 + \frac{\Delta^2 \mu_B}{2m^2} \mathcal{G}_2 \right|^2 \quad (I.4)$$

здесь  $F(\Delta^2)$  - формфактор скалярной частицы;  $\mathcal{F}_1(\Delta^2)$  и  $\mathcal{F}_2(\Delta^2)$  формфакторы фермиона ( $\mathcal{G}$  - статический аномальный магнитный момент);  $\mathcal{G}_1(\Delta^2)$ ,  $\mathcal{G}_2(\Delta^2)$  и  $\mathcal{G}_3(\Delta^2)$  - формфакторы вектора (статический аномальный магнитный момент вектора есть  $\mu_B + \epsilon_B$ , статический квадрупольный момент вектора есть  $2(\epsilon_B - \mu_B)$ ).

Сечение процесса в канале аннигиляции запишем в виде:

$$d\sigma = \frac{1}{(2\pi)^2} \frac{N_A^2 N_B^2}{V(p_A p_B)^2 m_B^2} \frac{1}{(2s_A + 1)^2} \frac{X}{\Delta^4} \delta(p_A + p_B' - p_A' - p_B) \frac{d^3 p_A'}{E_A'} \frac{d^3 p_B'}{E_B'} \quad (I.5)$$

Если положить, что обе частицы обладают электромагнитной структурой, то

$$X = \langle j_A^\mu j_A^\nu \rangle_{SA} \langle j_B^\mu j_B^\nu \rangle_{SB} = \frac{e^4 \Delta^4}{4N_A^2 N_B^2} \left\{ 3\mathcal{D}_{1A}\mathcal{D}_{1B} - \frac{(\Delta^2 - 4m_A^2)}{\Delta^2} \mathcal{D}_{2A}\mathcal{D}_{1B} - \frac{(\Delta^2 - 4m_B^2)}{\Delta^2} \mathcal{D}_{2B}\mathcal{D}_{1A} + \frac{(p_A p_B)^2}{\Delta^4} \mathcal{D}_{2A}\mathcal{D}_{2B} \right\} \quad (I.6)$$

Заметим также, что для точечных частиц

$$\begin{aligned} \mathcal{D}_1^{os} &= 0; \quad \mathcal{D}_2^{os} = -\frac{1}{2} \\ \mathcal{D}_1^{OF} &= 1; \quad \mathcal{D}_2^{OF} = 1 \\ \mathcal{D}_1^{OV} &= -\frac{\rho^2}{4m^2}; \quad \mathcal{D}_2^{OV} = \frac{\Delta^2}{4m^2} - \frac{3}{2} \end{aligned} \quad (I.7)$$

Сечение процесса в канале рассеяния имеет вид:

$$d\sigma = \frac{1}{(2\pi)^2} \frac{N_A^2 N_B^2}{V(p_A p_B)^2 m_B^2} \frac{(-V)^{2(s_A+s_B)}}{(2s_A+1)(2s_B+1)} \frac{X}{\Delta^4} \delta(p_A + p_B - p_A' - p_B') \frac{d^3 p_A'}{E_A'} \frac{d^3 p_B'}{E_B'} \quad (I.8)$$

причем в (I.1), (I.6) должна быть сделана замена

$$-p_A'^+ \rightarrow p_A'; \quad -p_B'^+ \rightarrow p_B \quad (I.9)$$

При экспериментальном определении формфакторов с помощью полученных выше выражений для сечений (I.5,6,8) можно разделить части, зависящие от двух кинематических инвариантов ( $\Delta^2$ ,  $(p_A p_B)$ ), так, что в опыте с неполяризованными частицами определяются две функции формфакторов. Если одна из частиц является точечной, или обладает известной структурой, то на опыте могут быть определены функции  $\mathcal{D}_1$  и  $\mathcal{D}_2$ . В канале рассеяния (где формфакторы вещественные) зная  $\mathcal{D}_1$  и  $\mathcal{D}_2$  можно найти формфакторы для бозонов со спином 0 и фермионов со спином 1/2, для нахождения формфакторов частиц с большим спином знания функций  $\mathcal{D}_1$  и  $\mathcal{D}_2$  уже недостаточно и нужно ставить поляризационный опыт. Такой опыт необходим также для определения формфакторов в аннигиляционном канале (где формфакторы комплексные функции), а также в случае, когда обе частицы обладают структурой.

Приведенные формулы (I.5,8) в частных случаях переходят в большое число ранее полученных результатов: для случая рассеяния электронов на протонах ( $F^0 - F$ ) в формулу Розенблюта [3], для рассеяния мюона на протоне ( $F - F$ ) в результате Никишова [4], для рассеяния электронов на дейтроне ( $F^0 - V$ ) в результат Глазера и Якшича [5], для аннигиляции протон-антинпротонной в электрон-позитронную пару, мюонную пару ( $F \rightarrow F^0$ ) и векторную пару ( $F \rightarrow V$ ) в результат Зихихи и др. [6].

Следует заметить, что если одна из частиц является поляризованной, то выражение (I.1) по-прежнему удобно использовать для описания другой частицы [2].

В аннигиляционном канале можно получить также формулу для интегрального сечения процесса

$$\sigma = \frac{e^4}{24\pi} \sqrt{\frac{\Delta^2 - 4m_B^2}{\Delta^2}} \frac{1}{V(p_A p_B)^2 - m_B^4} \frac{1}{(2s_A + 1)^2} \left[ 3\mathcal{D}_1 - \frac{\Delta^2 - 4m_B^2}{\Delta^2} \mathcal{D}_{2A} \right] \left[ 3\mathcal{D}_{1B} - \frac{\Delta^2 - 4m_B^2}{\Delta^2} \mathcal{D}_{2B} \right] \quad (I.10)$$

2. Подобный подход оказывается весьма продуктивным также для описания рождения частиц при электромагнитном взаимодействии [7] и трехчастичной аннигиляции пары частиц (рис.2).

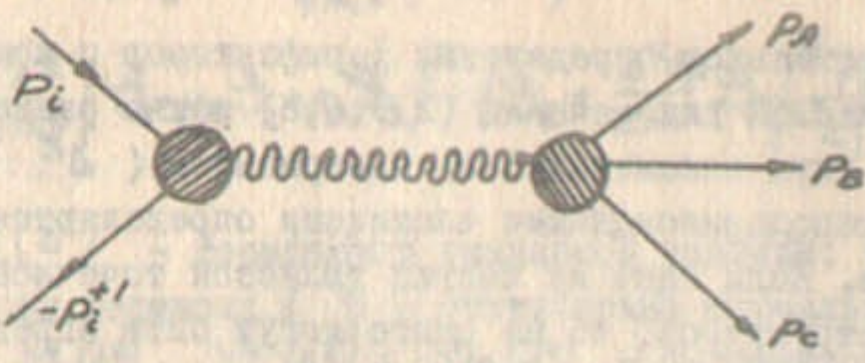


Рис. 2.

Рассмотрим сечение трехчастичной аннигиляции для неполаризованных частиц. В этом случае нас интересует  $\bar{Y}^{\mu\nu} = \sum_{S_A, S_B, S_C} I^{\mu} I^{\nu}$ , где  $I^{\mu} = \langle A B C | I^{\mu} | 0 \rangle$  — ток перехода. Вклад в сечение даёт симметричная часть этого тензора не содержащая  $\Delta^{\mu\nu}$ , поскольку тензор  $\bar{Y}^{\mu\nu}$  сворачивается с симметричным калибровочно инвариантным тензором ( $I \cdot I$ ). Эта часть имеет вид:

$$\bar{Y}_s^{\mu\nu} = -\frac{e^2}{N_a N_b N_c} \left\{ g^{\mu\nu} \varphi_0 + P_A^\mu P_B^\nu \varphi_L + P_B^\mu P_A^\nu \varphi_R + \frac{1}{2} (P_A^\mu P_B^\nu + P_B^\mu P_A^\nu) \varphi_3 \right\} \quad (2.1)$$

где  $\varphi_m$  — функции трёх кинематических инвариантов, которые обычно называют "неупругими форм-факторами" [7]. Сечение трёхчастичной аннигиляции запишем в виде:

$$d\sigma = \frac{1}{(2\pi)^6} \frac{N_a N_b N_c N_i^2}{\sqrt{(p_i p_i^*)^2 - m_i^4}} \frac{Z}{\Delta^4 (2s_i + 1)^2} \delta(p_i + p_i^* - p_A - p_B - p_C) \frac{d^3 p_A}{E_A} \frac{d^3 p_B}{E_B} \frac{d^3 p_C}{E_C} \quad (2.2)$$

где

$$Z = \bar{Y}_s^{\mu\nu} \langle J_{\mu} J_{\nu} \rangle_{S_i}^* = \frac{e^4}{2 N_a N_b N_c N_i^2} \sum_{m=0}^3 \varphi_m T_m \quad (2.3)$$

$$\begin{aligned} T_0 &= 3 \mathcal{D}_1 \Delta^2 + \mathcal{D}_2 \vec{P}_i^2 \\ T_1 &= \mathcal{D}_1 [\Delta^2 m_A^2 - (p_A \Delta)^2] + \mathcal{D}_2 (p_A \vec{P}_i)^2 \\ T_2 &= \mathcal{D}_1 [\Delta^2 m_B^2 - (p_B \Delta)^2] + \mathcal{D}_2 (p_B \vec{P}_i)^2 \\ T_3 &= \mathcal{D}_1 [\Delta^2 (p_A p_B) - (p_A \Delta)(p_B \Delta)] + \mathcal{D}_2 (p_A \vec{P}_i)(p_B \vec{P}_i) \end{aligned} \quad (2.4)$$

3. Значительный интерес представляет случай, когда одна из частиц  $A, B, C$  является фотоном (рис. 3), это так называемый виртуальный комптон-эффект, для описания которого приходится вводить большое число инвариантных функций (3 для спина 0, 12 для спина  $1/2$  и т.д.)

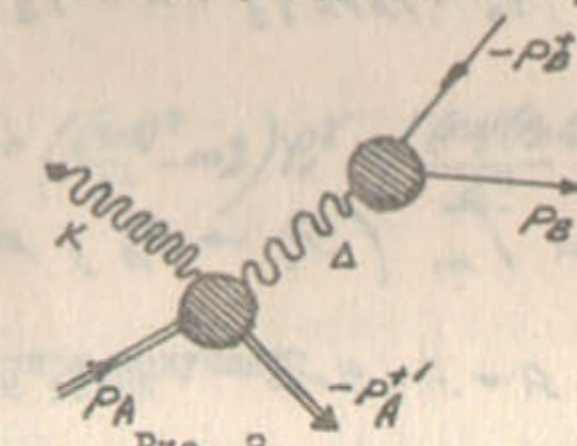


Рис. 3.

В то же время при данном подходе для описания виртуального комптон-эффекта, независимо от спина частицы, необходимы четыре неупругих формфактора. Мы рассмотрим два возможных случая:

- 1)  $\gamma + A \rightarrow A + B + \bar{B}$ , рождение пары фотоном при взаимодействии с частицей  $A$  (например рождение электрон-позитронной или мюонной пары при взаимодействии фотона с протоном с учётом структуры протона); 2)  $A + \bar{A} \rightarrow B + \bar{B} + \gamma$ , неупругая электромагнитная аннигиляция пары (например, аннигиляция протон-антинпротонной пары в электрон-позитронную или мюонную пару с излучением фотона, для диаграмм, на которых излучает протон). Заметим, что наряду с диаграммой типа приведенного на рис. 3, есть еще диаграммы на которых фотон поглощается частицей  $B$ , тогда вклад частицы  $A$  может быть естественно описан с помощью формфакторов [8, 9]. Если рассматривать сечения проинтегрированные по конечным состояниям родившейся пары, то интерференционный член между вкладами двух типов диаграмм обращается в нуль [8, 9].

Дифференциальное сечение процесса  $A + \bar{A} \rightarrow B + \bar{B} + \gamma$  имеет вид: (здесь и ниже рассматривается только вклад диаграммы типа рис. 3, вклад диаграмм другого типа рассмотрен в работах [8, 9])

$$d\sigma_{A\bar{A}} = \frac{1}{2(2\pi)^5} \frac{N_A^2 N_B^2}{\sqrt{(\rho_A \rho_B^*)^2 - m_B^2}} \frac{1}{(2s_A+1)^2} \frac{\sum \delta(P_A, P_B^*, P_B, P_B^*; \kappa)}{\Delta^4} \frac{d^3 p_A}{E_A} \frac{d^3 p_B}{E_B} \frac{d^3 \kappa}{\omega} \quad (3.1)$$

где

$$\sum_y = Y_\gamma^{(\mu)} \langle J_B \gamma J_B^* \rangle = \frac{e^6}{N_A^2 N_B^2} \sum_{m=0}^3 \varphi_m^\gamma \mathcal{L}_m \quad (3.2)$$

$$Y_\gamma^{(\mu)} = -\frac{2e^4}{N_A^2} \left\{ g^{\mu\nu} \varphi_0^\gamma + \rho_A^\mu \rho_B^\nu \varphi_1^\gamma + \kappa^\mu \kappa^\nu \varphi_2^\gamma + \frac{1}{2} (\rho_A^\mu \kappa^\nu + \rho_B^\mu \kappa^\nu) \varphi_3^\gamma \right\} \quad (3.3)$$

$$\mathcal{L}_m = T_m (\rho_i \rightarrow \rho_B, \rho_B \rightarrow \kappa) \quad (3.4)$$

Сечение процесса  $\gamma + A \rightarrow A + B + \bar{B}$  имеет вид:

$$d\sigma_{\gamma A} = \frac{1}{4(2\pi)^5} \frac{N_A^2 N_B}{(\rho_A \kappa)} \frac{(-1)^{2s_A}}{(2s_A+1)} \frac{\sum \delta(P_A + \kappa - \rho_A' - \rho_B - \rho_B')}{\Delta^4} \frac{d^3 p_A}{E_A} \frac{d^3 p_B}{E_B} \frac{d^3 \rho_A'}{E_A'} \quad (3.5)$$

причём в выражении для  $\sum_y$  следует сделать замены

$$-\rho_A' \rightarrow \rho_A'; \quad \kappa \rightarrow -\kappa \quad (3.6)$$

4. Полученные выражения могут быть проинтегрированы по ко-  
нечным состояниям родившейся пары, причём мы будем использовать  
то, что

$$\int \langle J_B^* J_B \rangle_{s_B} \delta(P_B + \rho_B^* - \Delta) \frac{d^3 p_B}{E_B} \frac{d^3 \rho_B^*}{E_B^*} = \Theta^2 C(\Delta^2) \left( g^{\mu\nu} - \frac{\Delta^\mu \Delta^\nu}{\Delta^2} \right) \quad (4.1)$$

$$C(\Delta^2) = \frac{\pi}{3} \sqrt{\frac{\Delta^2 - 4m_B^2}{\Delta^2}} \left[ (\Delta^2 - 4m_B^2) \mathcal{D}_2 - 3\Delta^2 \mathcal{D}_1 \right] \quad (4.2)$$

Выполняя также тривиальное интегрирование по азимутальному углу получаем следующее выражение для сечения неупругой электромагнитной аннигиляции пары:

$$d\sigma_{AA} = \frac{e^6}{2(2\pi)^4} \frac{1}{[(\rho_A \rho_B^*)^2 - m_B^2]} \frac{1}{(2s_A+1)^2} \frac{C(\Delta^2) V}{\Delta^4} d(\kappa \rho_B) d\Delta^2 \quad (4.3)$$

где

$$V = -3\varphi_0^\gamma + \frac{(\kappa \rho)^2}{\Delta^2} \varphi_2^\gamma + \left( \frac{(\rho_A \kappa)^2 - m_B^2}{\Delta^2} \right) \varphi_1^\gamma + \left[ \frac{(\kappa \rho)(\rho_A \kappa)}{\Delta^2} - (\kappa \rho_B) \right] \varphi_3^\gamma \quad (4.4)$$

Для рождения пары фотоном получаем:

$$d\sigma_{\text{eff}} = \frac{e^6}{8(2\pi)^4} \frac{1}{(\rho_A \kappa)^2} \frac{(-1)^{2s_A}}{(2s_A+1)} \frac{C(\Delta^2) U}{\Delta^4} d\rho_A^2 d\Delta^2 \quad (4.5)$$

причём

$$\rho_A = \rho_A - \rho_A'; \quad U = V(-\rho_A' \rightarrow \rho_A'; \kappa \rightarrow -\kappa) \quad (4.6)$$

Важно отметить, что несмотря на наличие произвольных формфакторов удаётся получить дифференциальное сечение только с двумя диффе-

ренциалами, так что использование неупругих формфакторов оказывается весьма удобным при описании виртуального комpton-эффекта.

5. Структура форм (I.I), (2.I) определяется только условиями релятивистской, СР-, калибровочной инвариантности и числом внешних векторов. Введенные в них функции  $\mathcal{D}_m$  и  $\varphi_m$  являются "кинематическими формфакторами" в том смысле, что тензорные структуры при  $\mathcal{D}_m$  и  $\varphi_m$  являются чисто кинематическими, а все динамические свойства частиц и взаимодействий содержатся в  $\mathcal{D}_m(\varphi_m)$ . Таким образом в однофотонном приближении при записи сечений через кинематические формфакторы раздельно входят кинематические и динамические части. Приведенные выше результаты показывают, что такое разделение оказывается весьма полезным.

### Л и т е р а т у р а

1. D.Yennie, M.Levy, D.Ravenhall. Rev.Mod.Phys. 29, 144, 1957.
2. В.Н.Байер, В.С.Фадин. ДАН СССР, 161, 74, 1965
3. M.Rosenbluth. Phys.Rev. 79, 615, 1950.
4. А.И.Никишов, ЖЭТФ, 36, 1604, 1959
5. V.Glaser, B.Jakšić. Nuovo Cimento. 5, 1197, 1957.
6. A.Zichichi, S.Berman, N.Cabibbo, R.Gatto. Nuovo Cim. 24, 170, 1962
7. M.Gourdin. Nuovo Cimento. 21, 1094, 1961.
8. В.Н.Байер, В.А.Хозе. Ядерная физика 2 № 2, 1965.
9. В.Н.Байер, В.С.Фадин, В.А.Хозе. ЖЭТФ (в печати)